

ТЕОРИЯ МАГНИТНЫХ ОСЦИЛЛЯЦИЙ В ОРГАНИЧЕСКИХ СВЕРХПРОВОДЯЩИХ МАТЕРИАЛАХ

С.А.Бразовский, В.М.Яковенко

Предложена теория осцилляционного поведения в сильных магнитных полях волн спиновой плотности в органических сверхпроводниках $(TMTSF)_2X$.

В последние годы большой интерес вызывает исследование органических проводников с химической формулой $(TMTSF)_2X$ (см. обзоры ^{1, 2}), в которых конкурируют сверхпроводимость и волна спиновой плотности (ВСП). Помимо "обычной" ВСП, соизмеримой с кристаллической структурой, в сильных магнитных полях после разрушения сверхпроводимости образуется "необычная" ВСП. При этом наблюдаются осцилляции сопротивления и, по-видимому, температуры фазового перехода. Недавно мы предложили теорию ³, согласно которой существование сверхпроводимости в этих соединениях связано с формированием определенной кристаллической сверхструктуры (КС), приводящей к неэквивалентности соседних проводящих цепочек. В настоящей работе мы покажем, что наличие этой структуры позволяет также описать поведение в сильных магнитных полях.

Рассмотрим слой цепочек, расположенных на расстоянии b . Пусть имеется кристаллическое поле, осциллирующее вдоль оси b с периодом $2b$ (именно такова структура $(TMTSF)_2ClO_4$ в сверхпроводящей R -фазе). Если величина интеграла перескока между цепочками t гораздо меньше, чем разность потенциалов соседних цепочек κ , то импульс Ферми электронов будет зависеть от номера цепочки n : $k_F^{(n)} = k_F + (-1)^n \kappa / 2\hbar v_F$, где v_F – скорость Ферми. Биения между разными $k_F^{(n)}$ создают в системе большой период $l = 2\pi\hbar v_F / \kappa$ вдоль цепочек. Пусть магнитное поле H направлено перпендикулярно к слою. Можно ожидать, что когда поток магнитного поля через естественную ячейку $l \times b$ будет соизмерим с квантом потока ϕ_0 , возникнут особенности в поведении системы. В настоящей работе будет показано, что в магнитных полях, удовлетворяющих условию

$$H b l = 2\phi_0 / M, \quad M = 2m + 1, \quad (1)$$

где M – нечетное число, повышается температура образования ВСП.

Положим $\hbar = v_F = \pi/k_F = 1$. Введем $\psi_{n,\alpha}(x)$ – операторы уничтожения электронов с импульсами вблизи αk_F , $\alpha = \pm$ в точке x на n -той цепочке. Для простоты мы опустили спиновые индексы, так как наша теория в равной мере описывает волны спиновой и зарядовой плотности. В присутствии магнитного поля и КС удобно произвести калибровочное преобразование:

$$\psi_{n,\alpha}(x) = \tilde{\psi}_{n,\alpha}(x) \exp \left[\alpha i k_F^{(n)} x + i n b \frac{e}{c} H x \right]. \quad (2)$$

После этого гамильтониан системы будет иметь вид

$$\hat{H} = \sum_{n;\alpha=\pm 1} \hat{H}_0(\tilde{\psi}_{n,\alpha}^+; \tilde{\psi}_{n,\alpha}) + \sum_{\alpha=\pm 1, p=\pm 1} \int dx [t_{n,p,\alpha}(x) \tilde{\psi}_{n+p,\alpha}^+(x) \tilde{\psi}_{n,\alpha}(x) + \text{з.с.}]; \quad (3)$$

$$t_{n,p,\alpha}(x) = t \exp [-ipqx + i\alpha(-1)^n \kappa x], \quad q = \frac{e}{c} bH. \quad (4)$$

Здесь \hat{H}_0 – гамильтониан одномерных взаимодействующих электронов ⁴. Обратим внимание, что влияние магнитного поля и КС проявляется только в осциллирующем характере интегралов перескока (4). Взаимодействия в \hat{H}_0 предполагаются такими, что отсутствуют щели в спиновом и зарядовом каналах. В этом случае согласно результатам решения одно-

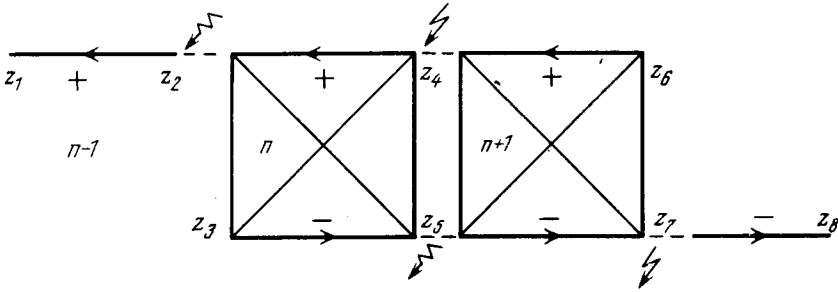
мерных моделей ⁴ корреляционная функция двух электронов, вычисленная с помощью \hat{H}_0 , имеет вид (с точностью до логарифмических зависимостей)

$$K_0(z_1, z_2, z_3, z_4) = \langle \tilde{\psi}_{n,+}^-(z_1) \tilde{\psi}_{n,-}^-(z_2) \tilde{\psi}_{n,+}^+(z_3) \tilde{\psi}_{n,-}^+(z_4) \rangle_0 =$$

$$= \frac{\text{const}}{s(z_1 - z_3) s^*(z_2 - z_4) |s(z_1 - z_3) s(z_2 - z_4)|^{\eta_F - 1}} \left| \frac{s(z_1 - z_4) s(z_2 - z_3)}{s(z_1 - z_2) s(z_3 - z_4)} \right|^\nu; \quad (5)$$

$$s(z) = \text{sh}(\pi T z) / \pi T, \quad z = x + i\tau,$$

где T — температура, τ — мацубаровское время. Индексы ν и η_F можно считать феноменологическими константами. В случае слабого взаимодействия типа g_2 $\nu = -g_2/2\pi$, $\eta_F = 1 + (g_2/2\pi)^2$ (см. ⁴). Исходя из экспериментальных данных, мы будем рассматривать случай $\nu > 0$, соответствующий сверхпроводящему упорядочению в отсутствие магнитного поля ³.



Рассмотрим ВСП, характеризуемую аномальной функцией Грина $O_p(z_1 - z_2) = \langle \tilde{\psi}_{n,+}^-(z_1) \times \tilde{\psi}_{n+p,-}^+(z_2) \rangle$, $p = \pm 1$, которая описывает спаривание частиц на соседних цепочках. Температура перехода T_c определяется расходимостью соответствующей корреляционной функции. Мы будем вычислять последнюю, рассматривая амплитуду перескока t в гамильтониане (3) как возмущение и используя лестничное приближение по t^3 . Типичная диаграмма ряда изображена на рисунке. На этом рисунке квадраты с диагоналями изображают корреляционные функции (5) электронов на цепочках $n, n+1$, каждая линия обозначает множитель из (5), зависящий от соответствующей разности координат; одиночные линии на концах диаграммы соответствуют одночастичным функциям Грина; пунктирные линии обозначают интеграл перескока t ; волнистые и ломанные линии обозначают, в соответствии с формулой (4), входящие и выходящие импульсы $q - \kappa$ и $q + \kappa$. Наибольший вклад вносят те области значений переменных интегрирования, где большие импульсы $\sim \kappa, q \gg T$ проходят по минимальному числу линий диаграммы, в то время как интегралы по петлям сходятся на малых импульсах. В координатном представлении такое поведение означает, что за счет быстрой сходимости интегралов от произведения осциллирующей и убывающей функций точки диаграммы, между которыми проходят импульсы $\sim q, \kappa$, могут быть эффективно стянуты в одну точку. Дальнейшее интегрирование не содержит осциллирующих функций и обрывается на расстояниях $\sim T^{-1}$. В случае $\nu > 0$ происходит стягивание следующих пар точек на рисунке: (z_2, z_5) и (z_4, z_7) . Между ними проходят импульсы $q \pm \kappa$. Оценивая интегралы, получаем, что ряд расходится при температуре

$$T_c^{(0)}(q) \sim \left[\frac{t^4}{|\kappa^2 - q^2|^{2-\nu}} \right]^{1/\beta}, \quad \beta \equiv 2 - 2\eta_F + \nu > 0, \quad 2 - \nu > 0. \quad (6)$$

Чтобы найти температуру перехода $T_c^{(1)}$ для $q = \kappa$, достаточно обрезать рост $T_c^{(0)}(q)$ в формуле (6) при $|q - \kappa| \sim T_c^{(0)}(q)$:

$$T_0^{(1)} \sim \left[\frac{t^4}{(2\kappa)^{2-\nu}} \right]^{\frac{1}{\beta+2\beta_F}} \sim T_c^{(0)}(q=0) \left(\frac{\kappa}{T_{3d}} \right)^{\frac{2\beta_F(2-\nu)}{\beta(\beta+2\beta_F)}}, \quad \beta_F = 2 - \eta_F, \quad (7)$$

где $T_{3d} \sim (t)^{1/\beta_F}$ — эффективная поперечная ширина одноэлектронной зоны.

Аналогичное исследование диаграмм более высокого порядка показывает, что помимо главного резонанса при $q = \kappa$ на фоне зависимости (6) имеются узкие пики $T_c^{(m)}$ при $q = \kappa/(2m+1)$: $T_c^{(m)}/T_c^{(1)} \sim (T_{3d}/\kappa)^a$, $a = 4\beta_F m/(\beta+2\beta_F)$.

Теория магнитных осцилляций в соединениях $(TMTSF)_2X$ впервые была предложена в работах ^{5, 2}. Рассматриваемый нами эффект отличается по физической природе. В ^{5, 2} рассматривался случай $\kappa = 0$; эффект основан на квазиклассическом описании магнитного поля и определяется формой ферми-поверхности (отсутствием нестинга). Напротив, наша модель предполагает сильную ($\kappa \gg T_{3d}$) неэквивалентность соседних цепочек, описывает квантовые эффекты соизмеримости в сильных магнитных полях и дает $l \sim \kappa^{-1}$. Если применить теорию ^{5, 2} к нашей модели, то получим $l \sim (T_{3d}^*)^{-1}$, где T_{3d}^* поперечная ширина одночастичной зоны, равная в данной модели $T_{3d}^* = T_{3d}^2/\kappa$ ³. Методически теория Горькова — Лебеда и теория, изложенная в данной статье, имеют дополнительные области применимости по магнитному полю: $q \lesssim T_{3d}^*$ и $q > T_{3d}^*$. Мы предполагаем, что эти два механизма описывают соответственно "медленные" (с частотой $H_0 = 23$ Т) и "быстрые" (275 Т) осцилляции, наблюдаемые в R-фазе $(TMTSF)_2ClO_4$ ⁶.

Сравнивая формулу (1) с экспериментальными данными ^{6, 7}, мы находим, что для осцилляций магнетосопротивления в $(TMTSF)_2PF_6$ под давлением $l = 344$ Å, а для "быстрых" осцилляций в $(TMTSF)_2ClO_4$, $l = 98$ Å. Используя для оценки простую зонную формулу $v_F = t_a a / \sqrt{2} \hbar$, $t_a = 0,25$ эВ, $l = 3,7$ Å, мы получим соответственно $\kappa = 12$ мэВ и $\kappa = 40$ мэВ.

Литература

1. Jerome D., Schulz H.J. Adv. Phys., 1982, 31, 299.
2. Горьков Л.П. УФН, 1984, 144, 381.
3. Brasovskii S., Yakovenko V. J. Phys. Lett.; 1985, 46, L111; ЖЭТФ, 1985, 89, 1883.
4. Solyom J. Adv. Phys., 1979, 76, 736.
5. Gor'kov L. P., Lebed' A. G. J. Phys. Lett., 1984, 45, L433; Лебедь А.Г. ЖЭТФ, 1985, 89, 1034.
6. Kwak J.E., Schirber J.E., Greene R.L., Engler E.M. Phys. Rev. Lett., 1981, 46, 1296.
7. Chaikin P.M., Choi M.Y., Kwak J.F., Brooks I.S., Martin K.P., Naughton M.J., Engler E.M., Green R.L. Phys. Rev. Lett., 1983, 51, 2333.

Поступила в редакцию

15 октября 1985г.

После переработки

10 декабря 1985г.